

ВОПРОСЫ КРИПТОГРАФИЧЕСКОЙ СТОЙКОСТИ БАЗОВОГО АЛГОРИТМА «ЛЮЦИФЕР»

М. В. Одинцов, М. В. Башлаков, А. П. Мартынов, А. В. Точилин

ФГУП «РФЯЦ-ВНИИЭФ», г. Саров Нижегородской обл.

Преобразование информации и восстановление преобразованной информации связаны с применением алгоритмов криптографического преобразования данных, имеющих определенные характеристики и свойства. Для выявления недостатков и закономерностей преобразований необходимо провести исследования значений выходной последовательности, получаемых в ходе преобразования, а также подсчитать количество появлений фиксированных значений выходной последовательности в зависимости от входных данных. Результаты такого подхода позволяют обнаружить значения входных данных, уязвимых с точки зрения информационной безопасности, и выявляют ненадежные варианты построения криптоалгоритмов.

Большинство из известных криптоалгоритмов при преобразовании данных использует функции, которые можно разделить на две основные группы – функции с элементами подстановки и функции с элементами перестановки. Блоки, выполняющие данные функции, были взяты за основу и при реализации криптоалгоритма «Люцифер» фирмы IBM. Существует несколько модификаций криптоалгоритма «Люцифер», отличающихся от базового варианта криптоалгоритма наличием дополнительных блоков математических преобразований, введение которых обусловлено наличием закономерностей в преобразовании данных и потребностью в обеспечении рассеивания значащих битов данных посредством нелинейных преобразований.

Базовый вариант криптоалгоритма «Люцифер» основан на итерационном применении совокупности криптографических операций, реализующих функции подстановки – S-блок (от англ. S-box (substitution box) – блок подстановки) и перестановки – P-блок (от англ. P-box (permutation box) – блок перестановки). Размерности данных блоков могут быть различными (до 128 разрядов битов данных) и зависят от степени сложности криптосистемы, которую стремится создать пользователь. Стоит отметить, что размерность блока преобразуемых данных (N) равна размерности P-блока, в то время как размерность (n) S-блока зависит от количества используемых в алгоритме S-блоков и определяется как отношение размерности N к количеству S-блоков.

На рис. 1 показана структура базовой версии криптоалгоритма «Люцифер», в которой $N = 16$ разрядов, а $n = 4$ разряда.

Входными данными для каждой итерации (за исключением начальной) являются данные, полученные с выхода преобразования на предыдущей итерации. Пользователь криптоалгоритма посредством ввода ключевой информации (ключа), представленной в двоичной системе счисления, определяет выбор одного из двух возможных вариантов подстановки (S_0 или S_1) для каждой позиции блока подстановки.

S-блок преобразует n разрядов входных данных в n разрядов выходных данных. Структура данного блока приведена на рис. 2.

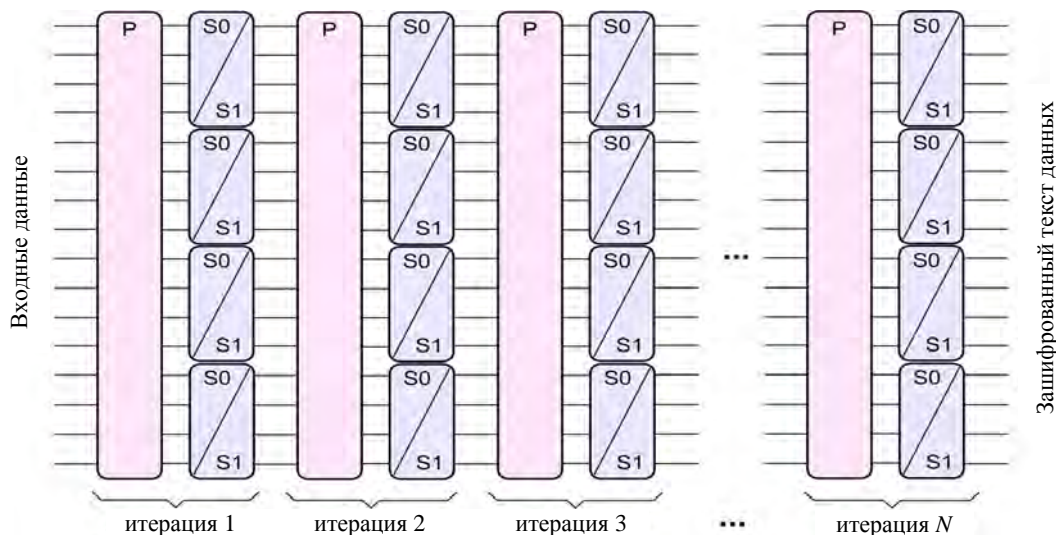


Рис. 1. Структура базовой версии криптоалгоритма «Люцифер»

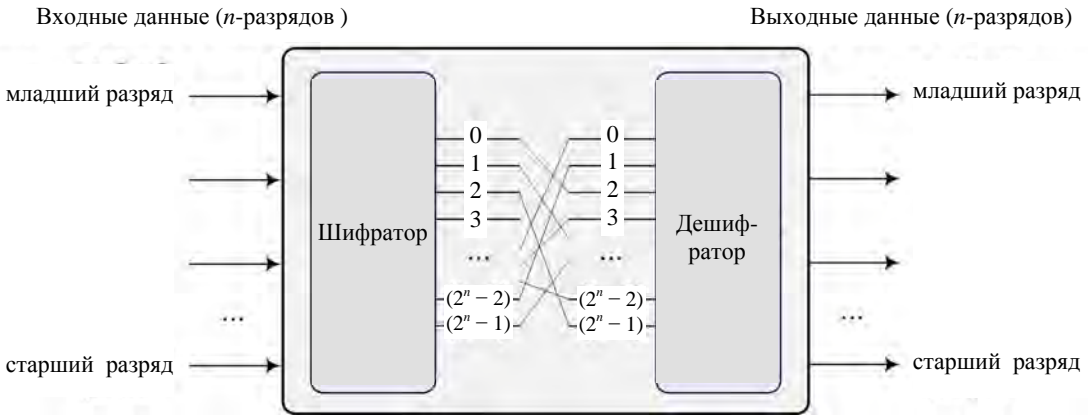


Рис. 2. Структура блока подстановки криптоалгоритма «Люцифер»

S-блок является основным для криптоалгоритма «Люцифер», так как осуществляет нелинейное преобразование информации (т. е. количество единиц и нулей на входе и выходе блока отличаются друг от друга). Данные, поступающие на вход блока подстановки в двоичном n -битном коде, преобразуются в шифраторе в позиционный 2^n-1 -разрядный код. Выходы шифратора с помощью перемычек соединяются со входами дешифратора, который осуществляет обратное преобразование 2^n-1 -разрядного входного кода в двоичный n -битный выходной код.

P-блок преобразует все N входных битов информации в N выходных битов, осуществляя при этом перемешивание битов. Структура данного блока приведена на рис. 3.

Блок подставки (P-блок)



Рис. 3. Структура блока перестановки криптоалгоритма «Люцифер»

P-блок осуществляет линейное преобразование информации (т. е. количество единиц и нулей на входе и выходе блока остается неизменным). Данные в блоке перестановки передаются со входа на выход по заранее установленным перемычкам.

Структура построения криптоалгоритма «Люцифер» во многом определяет криптографическую

стойкость как самого алгоритма, так и преобразованных данных. При этом увеличение размерности используемых блоков подстановки и перестановки значительно усложняет работу по определению исходных данных на основании преобразованного текста данных, так как многократно возрастают временные и вычислительные ресурсы. Кроме того, существенным фактором, влияющим на стойкость алгоритма и преобразованного текста, является многоразрядный ключ, определяющий порядок выбора S-блоков.

В данной статье приводятся результаты исследований структуры построения базового варианта криптоалгоритма «Люцифер» в части выявления закономерностей преобразования входных данных, а также определения сочетаний блоков подстановки и перестановки, нежелательных для практического применения ввиду слабых свойств преобразования входных данных.

В ходе проведения исследовательской работы было реализовано программное обеспечение, осуществляющее преобразование данных в соответствии с базовым вариантом криптоалгоритма, при этом рассматривались блоки перестановки и подстановки с различными размерностями. Для более наглядного отображения в данной статье приводятся результаты для случая одной итерации преобразования, когда размерность входных данных и, следовательно, размерность блока перестановки (P-блока) равна 4 разрядам ($N = 4$), а размерность блока подстановки (S-блока) равна 2 разрядам ($n = 2$), при этом используемые S-блоки идентичны друг другу, таким образом, значение ключа алгоритма не берется во внимание.

Поясним материал, изложенный в предыдущем абзаце. На вход P-блока последовательно подаются входные данные со значениями от 0000 (двоичная система счисления) до 1111 (двоичная система счисления), что соответствует значениям от 0 до F в 16-ричной системе счисления. После преобразования на выходе P-блока четырехразрядные данные разбиваются на две двухразрядные последовательности, которые поступают на входы идентичных S-блоков, после преобразования в которых данные вновь объединяются в четырехразрядную последовательность (выходную).

В табл. 1 показано количество появлений всех возможных значений выходной последовательности после преобразования на исчерпывающем переборе S- и P-блоков для каждого значения входной последовательности.

Из таблицы видно, что:

1) Входные последовательности, имеющие одинаковые значения во всех четырех разрядах (0000 и 1111 в двоичной системе счисления), имеют на выходе после преобразования только четыре значения. Это связано с тем, что для таких последовательностей P-блок неэффективен, так как не осуществляет перемешивания битов. Поэтому на выходе мы имеем $2^n = 4$ (при разрядности S-блока $n = 2$) выходных значений, что соответствует количеству всех возможных значений, которые могут выдать два двухразрядных S-блока.

2) Входные последовательности, имеющие одинаковые значения в любых двух разрядах (0011, 0101, 0110, 1001, 1010 и 1100 в двоичной системе счисления), имеют на выходе преобразования все возможные значения, причем появление большинства выходных значений имеет равную вероятность.

3) Входные последовательности, имеющие одинаковые значения в любых трех разрядах (0001, 0010, 0100, 0111, 1000, 1011, 1101 и 1110 в двоичной системе счисления), имеют на выходе преобразования все возможные значения с равной вероятностью появления. Исключение составляют выходные последовательности, у которых пары младших и старших разрядов равны друг другу, т. е. выходных последовательностей со значениями 0000, 0101, 1010, 1111 (в двоичной системе счисления) в данном случае быть не может. Это связано с тем, что на входы двух одинаковых S-блоков никогда не поступают одинаковые пары (00, 01, 10, 11), так как на выходе четырехразрядного P-блока всегда будет один разряд, отличающийся от трех других разрядов, и следовательно, на входы двух S-блоков алгоритма всегда будут поступать различные по значению пары.

После анализа выявленных закономерностей преобразования для рассматриваемого случая целесообразно исключить из практического применения в качестве входной последовательности данные с четырьмя одинаковыми разрядами. Для получения текста данных, стойкого к криптоанализу со стороны злоумышленника, лучше всего использовать последовательность, имеющую одинаковые значения в двух любых разрядах.

Важным фактором при построении стойкого криптоалгоритма является выявление вариантов построения функциональных блоков, для которых выходная последовательность может быть определена злоумышленником с высокой долей вероятности по известной входной последовательности. С целью определения таких функциональных блоков были проведены исследования по следующим двум направлениям:

1) Рассматривались структуры криптоалгоритма, в которых для каждого из вариантов S-блока последовательно выбирались все варианты P-блока, при этом на вход P-блока подавались все возможные значения (от 0000 до 1111 в двоичной системе счисления). Подсчитывалось количество совпадений значений входной и выходной последовательностей для каждого из вариантов S-блока при исчерпывающем переборе P-блоков.

2) Рассматривались структуры криптоалгоритма, в которых для каждого из вариантов P-блока последовательно выбирались все варианты S-блока, при этом на вход P-блока подавались все возможные значения (от 0000 до 1111 в двоичной системе счисления). Подсчитывалось количество совпадений значений входной и выходной последовательностей для каждого из вариантов P-блока при исчерпывающем переборе S-блоков.

Для первого исследования были получены результаты, которые отображены на диаграмме на рис. 4.

Таблица 1

| Вых. послед-ть | Входная последовательность (16-ая система счисления) | | | | | | | | | | | | | | | |
|-------------------|--|----|----|----|----|----|----|----|----|----|----|----|----|----|----|-----|
| | 0 | 1 | 2 | 3 | 4 | 5 | 6 | 7 | 8 | 9 | A | B | C | D | E | F |
| | Количество появлений (10-ая система счисления) | | | | | | | | | | | | | | | |
| 0 | 144 | 0 | 0 | 48 | 0 | 48 | 48 | 0 | 0 | 48 | 48 | 0 | 48 | 0 | 0 | 144 |
| 1 | 0 | 48 | 48 | 32 | 48 | 32 | 32 | 48 | 48 | 32 | 32 | 48 | 32 | 48 | 48 | 0 |
| 2 | 0 | 48 | 48 | 32 | 48 | 32 | 32 | 48 | 48 | 32 | 32 | 48 | 32 | 48 | 48 | 0 |
| 3 | 0 | 48 | 48 | 32 | 48 | 32 | 32 | 48 | 48 | 32 | 32 | 48 | 32 | 48 | 48 | 0 |
| 4 | 0 | 48 | 48 | 32 | 48 | 32 | 32 | 48 | 48 | 32 | 32 | 48 | 32 | 48 | 48 | 0 |
| 5 | 144 | 0 | 0 | 48 | 0 | 48 | 48 | 0 | 0 | 48 | 48 | 0 | 48 | 0 | 0 | 144 |
| 6 | 0 | 48 | 48 | 32 | 48 | 32 | 32 | 48 | 48 | 32 | 32 | 48 | 32 | 48 | 48 | 0 |
| 7 | 0 | 48 | 48 | 32 | 48 | 32 | 32 | 48 | 48 | 32 | 32 | 48 | 32 | 48 | 48 | 0 |
| 8 | 0 | 48 | 48 | 32 | 48 | 32 | 32 | 48 | 48 | 32 | 32 | 48 | 32 | 48 | 48 | 0 |
| 9 | 0 | 48 | 48 | 32 | 48 | 32 | 32 | 48 | 48 | 32 | 32 | 48 | 32 | 48 | 48 | 0 |
| A | 144 | 0 | 0 | 48 | 0 | 48 | 48 | 0 | 0 | 48 | 48 | 0 | 48 | 0 | 0 | 144 |
| B | 0 | 48 | 48 | 32 | 48 | 32 | 32 | 48 | 48 | 32 | 32 | 48 | 32 | 48 | 48 | 0 |
| C | 0 | 48 | 48 | 32 | 48 | 32 | 32 | 48 | 48 | 32 | 32 | 48 | 32 | 48 | 48 | 0 |
| D | 0 | 48 | 48 | 32 | 48 | 32 | 32 | 48 | 48 | 32 | 32 | 48 | 32 | 48 | 48 | 0 |
| E | 0 | 48 | 48 | 32 | 48 | 32 | 32 | 48 | 48 | 32 | 32 | 48 | 32 | 48 | 48 | 0 |
| F | 144 | 0 | 0 | 48 | 0 | 48 | 48 | 0 | 0 | 48 | 48 | 0 | 48 | 0 | 0 | 144 |

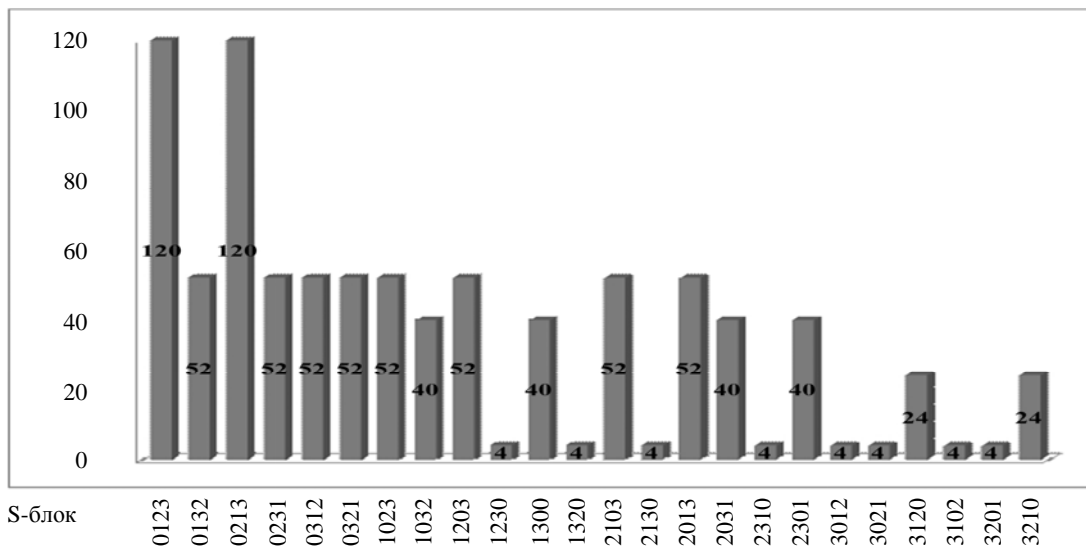


Рис. 4. Диаграмма совпадений входной и выходной последовательностей для каждого варианта S-блока при исчерпывающем переборе P-блоков

На рис. 4 вдоль оси абсцисс показаны все варианты S-блока, на вход которого поступают двухразрядные данные. Цифры от 0 до 3 означают номера входов дешифратора S-блока, к которым в такой последовательности посредством перемычек подсоединены выходы шифратора (например, последовательность цифр 2301 для S-блока означает, что «0» выход шифратора соединен с «2» входом дешифратора, «1» с «3», «2» с «0», а «3» с «1»). Из рисунка видно, что выбор S-блока является важным моментом при построении стойкого криптоалгоритма, при этом наиболее оптимальными вариантами блока подстановки являются блоки, у которых нулевой вывод шифратора соединен с последним входом дешифратора. Такие структуры обеспечивают наибольшую трансформацию входных данных.

Для второго исследования были получены результаты, которые отображены на диаграмме на рис. 5.

На рис. 5 вдоль оси абсцисс показаны все варианты P-блока, на вход которого поступают четырех-

разрядные данные. Цифры от 0 до 3 означают номера выходов P-блока, к которым в такой последовательности посредством перемычек подсоединены входы P-блока (например, последовательность цифр 2301 для P-блока означает, что «0» вход блока соединен с «2» выходом блока, «1» с «3», «2» с «0», а «3» с «1»). Из рисунка видно, что все P-блоки можно разделить на две группы по количеству совпадений, при этом в среднем разброс появлений совпадений для каждого P-блока на исчерпывающем переборе S-блоков и входных последовательностей можно считать незначительным.

Для определения структур криптоалгоритма, обеспечивающих надежное преобразование без повторения входной последовательности, сформирована табл. 2, содержащая количество совпадений входной и выходной последовательностей для всех возможных сочетаний S- и P-блоков при подаче на вход всех возможных четырехразрядных значений.

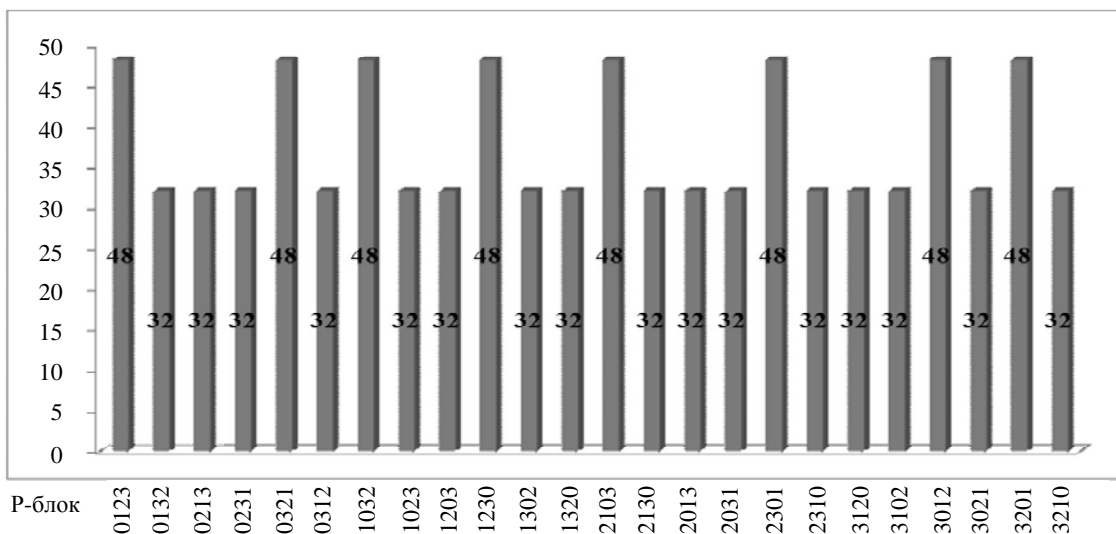


Рис. 5. Диаграмма совпадений входной и выходной последовательностей для каждого варианта P-блока при исчерпывающем переборе S-блоков

| S-бл P-бл | 0123 | 0132 | 0213 | 0231 | 0312 | 0321 | 1023 | 1032 | 1203 | 1230 | 1302 | 1320 | 2103 | 2130 | 2013 | 2031 | 2310 | 2301 | 3012 | 3021 | 3120 | 3102 | 3201 | 3210 | $\Sigma_{P-блок}$ |
|-------------------|------|------|------|------|------|------|------|------|------|------|------|------|------|------|------|------|------|------|------|------|------|------|------|------|-------------------|
| 0123 | 16 | 4 | 4 | 1 | 1 | 4 | 4 | 0 | 1 | 0 | 0 | 1 | 4 | 1 | 1 | 0 | 0 | 0 | 0 | 1 | 4 | 1 | 0 | 0 | 48 |
| 0132 | 8 | 2 | 8 | 2 | 2 | 2 | 2 | 0 | 2 | 0 | 0 | 0 | 2 | 0 | 2 | 0 | 0 | 0 | 0 | 0 | 0 | 0 | 0 | 0 | 32 |
| 0213 | 8 | 2 | 2 | 2 | 2 | 2 | 2 | 0 | 2 | 0 | 2 | 0 | 2 | 0 | 2 | 0 | 0 | 0 | 0 | 0 | 2 | 0 | 0 | 0 | 32 |
| 0231 | 4 | 2 | 4 | 2 | 2 | 2 | 2 | 0 | 2 | 0 | 0 | 0 | 2 | 0 | 2 | 4 | 0 | 4 | 0 | 0 | 0 | 0 | 0 | 0 | 32 |
| 0321 | 8 | 4 | 2 | 1 | 1 | 4 | 4 | 0 | 1 | 0 | 2 | 1 | 4 | 1 | 1 | 2 | 0 | 8 | 0 | 1 | 2 | 1 | 0 | 0 | 48 |
| 0312 | 4 | 2 | 4 | 2 | 2 | 2 | 2 | 0 | 2 | 0 | 4 | 0 | 2 | 0 | 2 | 0 | 4 | 0 | 0 | 0 | 0 | 0 | 0 | 0 | 32 |
| 1032 | 4 | 1 | 16 | 4 | 4 | 1 | 1 | 0 | 4 | 1 | 0 | 0 | 1 | 0 | 4 | 0 | 1 | 0 | 1 | 0 | 0 | 0 | 1 | 4 | 48 |
| 1023 | 8 | 2 | 8 | 2 | 2 | 2 | 2 | 0 | 2 | 0 | 0 | 0 | 2 | 0 | 2 | 0 | 0 | 0 | 0 | 0 | 0 | 0 | 0 | 0 | 32 |
| 1203 | 4 | 2 | 4 | 2 | 2 | 2 | 2 | 4 | 2 | 0 | 0 | 0 | 2 | 0 | 2 | 4 | 0 | 0 | 0 | 0 | 0 | 0 | 0 | 0 | 32 |
| 1230 | 2 | 1 | 8 | 4 | 4 | 1 | 1 | 2 | 4 | 1 | 0 | 0 | 1 | 0 | 4 | 8 | 1 | 2 | 1 | 0 | 0 | 0 | 1 | 2 | 48 |
| 1302 | 2 | 2 | 8 | 2 | 2 | 2 | 2 | 2 | 2 | 0 | 0 | 0 | 2 | 0 | 2 | 0 | 0 | 2 | 0 | 0 | 0 | 0 | 0 | 2 | 32 |
| 1320 | 4 | 2 | 4 | 2 | 2 | 2 | 2 | 0 | 2 | 0 | 0 | 0 | 2 | 0 | 2 | 4 | 0 | 4 | 0 | 0 | 0 | 0 | 0 | 0 | 32 |
| 2103 | 8 | 4 | 2 | 1 | 1 | 4 | 4 | 8 | 1 | 0 | 2 | 1 | 4 | 1 | 1 | 2 | 0 | 0 | 0 | 1 | 2 | 1 | 0 | 0 | 48 |
| 2130 | 4 | 2 | 4 | 2 | 2 | 2 | 2 | 4 | 2 | 0 | 0 | 0 | 2 | 0 | 2 | 4 | 0 | 0 | 0 | 0 | 0 | 0 | 0 | 0 | 32 |
| 2013 | 4 | 2 | 4 | 2 | 2 | 2 | 2 | 4 | 2 | 0 | 4 | 0 | 2 | 0 | 2 | 0 | 0 | 0 | 0 | 0 | 0 | 0 | 0 | 0 | 32 |
| 2031 | 2 | 2 | 8 | 2 | 2 | 2 | 2 | 2 | 2 | 0 | 0 | 0 | 2 | 0 | 2 | 0 | 0 | 2 | 0 | 0 | 0 | 0 | 0 | 2 | 32 |
| 2301 | 4 | 4 | 4 | 1 | 1 | 4 | 4 | 4 | 1 | 0 | 0 | 1 | 4 | 1 | 1 | 0 | 0 | 4 | 0 | 1 | 4 | 1 | 0 | 4 | 48 |
| 2310 | 2 | 2 | 2 | 2 | 2 | 2 | 2 | 2 | 2 | 0 | 2 | 0 | 2 | 0 | 2 | 2 | 0 | 2 | 0 | 0 | 2 | 0 | 0 | 2 | 32 |
| 3120 | 8 | 2 | 2 | 2 | 2 | 2 | 2 | 0 | 2 | 0 | 2 | 0 | 2 | 0 | 2 | 2 | 0 | 0 | 0 | 0 | 2 | 0 | 0 | 0 | 32 |
| 3102 | 4 | 2 | 4 | 2 | 2 | 2 | 2 | 4 | 2 | 0 | 4 | 0 | 2 | 0 | 2 | 0 | 0 | 0 | 0 | 0 | 0 | 0 | 0 | 0 | 32 |
| 3012 | 2 | 1 | 8 | 4 | 4 | 1 | 1 | 2 | 4 | 1 | 8 | 0 | 1 | 0 | 4 | 0 | 1 | 2 | 1 | 0 | 0 | 0 | 1 | 2 | 48 |
| 3021 | 4 | 2 | 4 | 2 | 2 | 2 | 2 | 0 | 2 | 0 | 4 | 0 | 2 | 0 | 2 | 0 | 0 | 4 | 0 | 0 | 0 | 0 | 0 | 0 | 32 |
| 3210 | 4 | 1 | 4 | 4 | 4 | 1 | 1 | 0 | 4 | 1 | 4 | 0 | 1 | 0 | 4 | 4 | 1 | 0 | 1 | 0 | 4 | 0 | 1 | 4 | 48 |
| 3201 | 2 | 2 | 2 | 2 | 2 | 2 | 2 | 2 | 2 | 0 | 2 | 0 | 2 | 0 | 2 | 2 | 0 | 2 | 0 | 0 | 2 | 0 | 0 | 2 | 32 |
| $\Sigma_{S-блок}$ | 120 | 52 | 120 | 52 | 52 | 52 | 52 | 40 | 52 | 4 | 40 | 4 | 52 | 4 | 52 | 40 | 4 | 40 | 4 | 4 | 24 | 4 | 4 | 24 | 896 |

В данной таблице по столбцам расположены все варианты S-блоков, по строкам – все варианты P-блоков. На пересечении строк и столбцов – количество совпадений входных и выходных данных для определенного сочетания S- и P-блоков. Последние строка и столбец отражают суммарное количество совпадений для данного S- и P-блока, соответственно.

Применение для преобразования данных оптимальных сочетаний блоков перестановки и подстановки в совокупности с применением входных данных, имеющих одинаковые значения в любых двух разрядах, способствует созданию текста данных, стойкого к вскрытию со стороны злоумышленника.

Заключение

В данной статье приведены результаты исследований, которые могут быть применены при создании стойкого криптоалгоритма, основанного на функциях подстановки и перестановки. Приведен способ определения входных данных, уязвимых с точки зрения информационной безопасности. Показан прием, который позволяет выявить слабые места при

построении криптоалгоритмов и, наоборот, определить оптимальные сочетания блоков подстановки и перестановки для преобразования данных.

В статье отражены результаты исследования только для четырехразрядного блока входных данных. Приемы и методы, описанные в статье, можно распространить на блоки данных, имеющие значительно большую размерность.

Литература

1. Маргынов А. П., Фомченко В. Н. Криптография и электроника / Под ред. А. И. Астайкина. Саратов: РФЯЦ-ВНИИЭФ, 2006.
2. Sorkin A. Lucifer, a cryptographic algorithm // Cryptologia. 1984. N 8. P. 22–42.
3. Smith J. L. U.S. Patent N 3796830. Recirculating Block Cipher Cryptographic System. 1974.
4. Feistel H. U. S. Patent N 3798359. Block Cipher Cryptographic System. 1974.
5. Ben-Aroya I., Biham E. Differential cryptanalysis of Lucifer: Technical report CS0782. Haifa, Technion. 1993. P. 2–9.